

平成 4 年放射能調査報告書

平成 6 年 3 月

海上保安庁水路部

平成4年放射能調査報告書

目 次

	頁
はじめに	1
1. 日本近海における海水及び海底土の放射能調査	
1. 1 調査の概要	3
1. 1. 1 調査海域	3
1. 1. 2 試料採取	3
1. 1. 3 測定項目	4
1. 2 放射能測定	4
1. 2. 1 放射化学分析	4
1. 2. 2 測 定	5
1. 3 結 果	6
1. 3. 1 海 水	6
1. 3. 2 海 底 土	6
2. 核燃料再処理施設周辺海域の放射能調査	
2. 1 調査の概要	15
2. 1. 1 調査海域	15
2. 1. 2 試料採取	15
2. 1. 3 測定項目	15
2. 2 放射能測定	16
2. 2. 1 ガンマ線分光分析	16
2. 2. 2 放射化学分析	16
2. 3 粒度分析	16
2. 4 結 果	16
2. 4. 1 海 水	17
2. 4. 2 海 底 土	17

3.	深海の海水・海底土放射能調査	
3. 1	調査の概要	27
3. 1. 1	調査海域	27
3. 1. 2	試料採取	27
3. 1. 3	測定項目	28
3. 2	放射能測定	28
3. 2. 1	放射化学分析	28
3. 2. 2	測 定	29
3. 3	結 果	29
3. 3. 1	海 水	29
3. 3. 2	海 底 土	30

は じ め に

海上保安庁水路部では、海洋汚染の防止及び海洋環境保全のための科学的調査の一環として、
海洋における放射能調査を実施している。

本調査は、国の原子力行政の一元化の方針に基づき、原子力委員会による業務調整の下に、
科学技術庁で一括計上される放射能調査研究費によって実施されているものである。

本調査報告書は、平成4年に実施した「日本近海における海水及び海底土の放射能調査」、「核
燃料再処理施設周辺海域の放射能調査」及び「深海の海水・海底土放射能調査」の調査結果で
ある。

1. 日本近海における海水及び海底土の放射能調査

1.1 調査の概要

この調査は、核実験等が海洋の自然環境に及ぼす影響を把握するため実施しており、わが国周辺海域の海水及び沿岸海域の海底土に含まれている放射性物質の分布状況、経年変化等を調査するものである。

海水は年4回、海底土は年1回採取し、放射化学分析法により測定を行っている。なお、海水については昭和34年(1959年)に、海底土については同48年(1973年)にそれぞれ調査を開始し、以来継続して実施している。今回の報告は平成4年(1992年)の調査結果をまとめたものである。

1.1.1 調査海域

試料の採取点は、図1-1に示すとおりである。海水は○印、海底土は●印で示した。なお、採取点に付した数字は試料番号である。

1.1.2 試料の採取

試料の採取は、本庁水路部所属の測量船及び管区海上保安本部所属の巡視船・測量船で行った。

海水はポリエチレン製のバケツを用い表面海水約20ℓを採取し、直ちに塩酸(40ml)を加えた。

海底土はスミス・マッキンタイヤ型採泥器又はエクマンバージ型採泥器を用いて採取し、表層部の約2cmを分け取った。

採取された試料数は、海水51試料、海底土10試料であり、各海域毎の試料数及び採取機関は次のとおりである。

調査海域	海 水	海底土	採 取 機 関
黒潮域	15	—	本庁、十、十一各管区
親潮域	10	—	一、二各管区
日本海	26	—	一、七、八、九各管区
沿岸海域	—	10	本庁、一、六、八、九、十各管区
試料数計	51	10	

1.1.3 測定項目

各試料の分析核種は次のとおりである。

海 水	セ シ ウ ム-137	(Cs-137、半減期	30年)
	ストロンチウム-90	(Sr-90、半減期	29年)
	セ リ ウ ム-144	(Ce-144、半減期	284日)
海底土	セ シ ウ ム-137		
	ストロンチウム-90		
	コ バ ル ト-60	(Co-60、半減期	5.3年)
	セ リ ウ ム-144		
	プ ル ト ニ ウ ム-239,240	(Pu-239、半減期 (Pu-240、半減期	24,100年) 6,570年)

1.2 放射能測定

1.2.1 放射化学分析

各試料は、核種毎に次のような化学処理を行い分離精製し、ベータ線計測あるいはアルファ線計測を行った。化学収率等の補正值は、Puでは添加したPu-242の計測値から、海底土のSrでは標準添加法を用いる原子吸光光度法で、その他の核種ではいずれも添加した担体の回収重量から求めた。

(1) 海 水

[Ce-144] 試料に水酸化ナトリウムを加え水酸化マグネシウムと共に沈させ、ろ別した(上澄み液、ろ液はSr-90、Cs-137の分析に用いる)。この沈澱を1.75N 塩酸で溶解し、陽イオン交換樹脂に通し4N 硫酸でCeを溶離し、アンモニア水で沈澱を生成させた後、ろ別し硝酸により溶解した。

この硝酸溶液中からIV価のCeをメチル・イソブチルケトン中に抽出し、過酸化水素を含む水中に逆抽出し、これをしづう酸塩として沈澱させ、ろ別、乾燥して計測試料とした。

[Sr-90] Ce-144の分析中に得られた上澄み液・ろ液を酸性とした後、イットリウム担体を加え2週間以上放置する。Sr-90と放射平衡にあるイットリウム-90(Y-90)を水酸化マグネシウムと共に沈させ、ろ別した(上澄み液・ろ液はCs-137の分析に用いる)。沈澱物を塩酸で溶解し、りん酸水素ビス(2-エチルヘキシル)抽出法、更に陽イオン交換法によってYを分離精製し、これをしづう酸塩として沈澱させ、ろ別、乾燥して計測試料とした。

[Cs-137] Sr-90の分析中に得られた上澄み液・ろ液を酸性とした後、りんモリブデン酸アンモニウムを加えCsを吸着させ、ろ別した。ろ別したりんモリブデン酸アンモニウムを水酸化ナ

トリウム水溶液で溶解し、Duolite C-3を用いる陽イオン交換法でCsを分離精製した後、これを塩化白金酸塩として沈澱させ、ろ別、乾燥して計測試料とした。

(2) 海底土

化学処理に先立ち、採取試料を乾燥、粉碎し、目開き2mmふるいを通過した部分を分析試料とした。

[Pu-239, 240] 乾土50gを用い、Pu-242標準液を添加した後、熱8.4N硝酸で浸出し、浸出液を蒸発濃縮した後、熱8.4N硝酸に溶解し、過酸化水素で処理し、陰イオン交換樹脂カラムに通しPu(IV)を吸着させた。8.4N硝酸及び10N塩酸で樹脂を洗浄後、よう化アンモニウム-塩酸溶液でPu(IV)をPu(III)に還元し溶離した。分離精製した試料はステンレススチール板上に電着して計測試料とした。

[Cs-137]乾土50gを用い、470°Cで有機物を熱分解した後、熱8N塩酸で浸出し、浸出液にりんモリブデン酸アンモニウムを加えCsを吸着させ、ろ別した。以後の処理は海水と同様である。

[Co-60]乾土300gを用い、470°Cで有機物を熱分解した後、熱8N塩酸で浸出し、浸出液を陰イオン交換樹脂に通しCoを吸着させた（流出液・洗液はSr-90の分析に用いる）。吸着させたCoは4N塩酸で溶離した後、テトラヒドロフラン-塩酸混液を用いる陽イオン交換法により分離精製し、銅板上に電着して計測試料とした。

[Sr-90] Co-60の分析中に得られた流出液・洗液をアンモニア水で中和してアルミニウムを沈澱させ除去した。ろ液に炭酸アンモニウムを加え、Srを沈澱させ、ろ別した。沈澱物は硝酸で溶解し、その溶液を煮沸して炭酸ガスを除いた後、Y担体を加え2週間以上放置する。以後の処理は海水と同様である。

[Ce-144] 乾土50gを用い、熱6N塩酸で浸出し、浸出液を1.5N溶液に希釈した後、陽イオン交換樹脂を通しCeを吸着させ、4N塩酸で溶離した。以後の処理は海水と同様である。

1.2.2 測 定

Ce-144及び海水のCs-137、Y-90のベータ線計測には、自動試料交換装置付低バックグランドガスフローカウンタ（アロカ製LBC-451）、海底土のY-90のベータ線計測は4π低バックグランドガスフローカウンタ（アロカ製LBC-3）、Co-60及び海底土のCs-137のベータ線計測には低バックグランドベータ線スペクトロメータ（富士電機製ピコベータ）をそれぞれ用いた。

Puのアルファ線スペクトル計測には、PIPS型検出器（CANBERRA社製SPD-450-17-100AM型）を装備したアルファ線スペクトロメータ（CANBE RRA社製7404型4連）及び、マルチチャネルアナライザ（CANBERRA社製3502T型）を用いた。

1.3 結 果

平成4年(1992年)に採取した試料の測定結果を海水、海底土についてそれぞれ表1-1及び表1-2に示す。測定値には、計数誤差を付記した。なお放射能濃度には、短半減期の同位体を含むことがある。

1.3.1 海 水

測定結果について海域別に各核種の最高値、最低値及び平均値を示せば下表のとおりである。

核 種	Cs-137			Sr-90			Ce-144		
	最 高	最 低	平 均	最 高	最 低	平 均	最 高	最 低	平 均
黒潮域	4.8	2.3	3.2	3.0	1.6	2.2	2.9	0	1.4
親潮域	4.6	2.0	3.0	2.5	1.4	1.9	2.5	0	0.6
日本海	4.8	1.9	3.3	3.2	0.6	2.1	2.8	0	1.2

単位: mBq/ℓ

また、従来の値と比較するために、図1-2に1974年(昭和49年)以降の海域別年平均値の経年変化を示した。

これらの結果から、Cs-137及びSr-90については各年のレベルに上下はあるものの、減少傾向がみられる。また、Ce-144は低いレベルで推移している。

1.3.2 海底土

測定結果について各核種の最高値、最低値及び平均値は下表のとおりである。

核 種	Pu-239,240	Cs-137	Sr-90	Co-60	Ce-144
最 高	2.8	4.0	0.34	0.028	0.27
最 低	0.17	0.39	0.011	0.002	0
平 均	1.2	2.5	0.11	0.02	0

単位: Bq/kg-乾土

従来の値と比較するために、図1-3～図1-7にPu-239,240(1983年以降)、Cs-137(1981年以降)、Sr-90(1981年以降)、Co-60(1974年以降)及びCe-144(1974年以降)についてそれぞれ測定値の年平均値の経年変化を測定された濃度範囲とともに示した。

Pu-239,240はCs-137に次ぐ高いレベルであり、海底土への濃縮傾向が強く、若干の減少傾向にある。

Cs-137及びSr-90は、各年のレベルに上下はあるものの、長期的にはほぼ一定である。

Co-60及びCe-144は、緩やかな減少傾向が続いている、非常に低いレベルで推移している。

表1-1 日本近海放射能調査結果—海水（平成4年）

試料番号	採取位置		採取年月日	放射能濃度 (mBq/l)		
	緯度(N)	経度(E)		¹³⁷ Cs	⁹⁰ Sr	¹⁴⁴ Ce
黒潮域						
1	28-40	133-40	1992. 1.13	2.8±0.6	2.7±0.4	2.9±0.5
2	30-00	126-25	1992. 1.16	2.4±0.6	2.0±0.5	2.4±0.5
3	35-40	141-30	1992. 3.11	2.8±0.6	1.7±0.4	0.4±0.7
4	30-10	132-20	1992. 3.13	2.3±0.7	2.2±0.4	2.9±0.5
5	32-20	138-01	1992. 5.23	2.6±0.7	1.6±0.4	1.6±0.4
6	29-02	135-30	1992. 5.25	4.2±0.7	2.2±0.4	1.5±0.4
7	32-02	141-30	1992. 6. 8	3.2±0.7	3.0±0.5	2.0±0.4
8	30-55	130-50	1992. 6.18	3.6±0.8	1.9±0.4	1.9±0.8
9	30-20	132-44	1992. 6.20	3.2±0.7	2.2±0.4	1.7±0.4
10	32-40	135-20	1992. 6.20	3.1±0.7	2.2±0.4	1.1±0.4
11	30-52	131-38	1992. 8.27	4.1±0.7	1.8±0.4	1.0±0.9
12	31-20	133-40	1992.10.18	2.8±0.6	2.9±0.4	1.4±0.6
13	33-30	137-58	1992.11.10	4.2±0.7	2.6±0.4	-0.1±0.5
14	33-00	135-00	1992.11.24	4.8±0.7	2.1±0.4	-0.1±0.5
15	30-55	130-50	1992.11.26	2.7±0.6	2.4±0.4	0.9±0.6
平均				3.2	2.2	1.4
親潮域						
16	38-20	142-00	1992. 3. 3	2.0±0.6	2.0±0.4	-0.3±0.7
17	38-20	144-30	1992. 3. 3	3.0±0.6	1.7±0.4	2.5±0.5
18	40-00	145-20	1992. 5. 7	3.5±0.6	2.5±0.4	1.1±0.4
19	38-30	142-30	1992. 5. 9	2.8±0.6	1.8±0.5	2.3±0.4
20	38-00	144-30	1992. 8.24	2.7±0.6	2.1±0.4	-0.9±0.6
21	38-00	142-00	1992. 8.24	2.9±0.7	1.4±0.5	-1.0±0.6
22	42-45	144-15	1992.10.20	4.6±0.7	1.5±0.4	0.4±0.5
23	41-00	145-00	1992.10.21	-----	2.2±0.4	0.6±0.6
24	38-30	142-00	1992.11.27	4.3±0.7	1.9±0.4	-0.2±0.5
25	38-30	145-00	1992.11.29	4.1±0.7	1.9±0.4	1.3±0.6
平均				3.0	1.9	0.6
日本海						
26	37-30	138-00	1992. 3. 4	4.0±0.7	0.5±0.4	2.0±0.5
27	38-51	134-30	1992. 3. 5	2.7±0.7	2.4±0.4	1.4±0.5
28	40-30	135-10	1992. 3. 8	1.8±0.6	2.3±0.4	1.6±0.4
29	36-40	135-50	1992. 3.23	4.2±0.7	2.2±0.5	1.1±0.4
30	37-40	134-56	1992. 3.23	3.1±0.6	0.6±0.4	1.0±0.4
31	37-30	138-00	1992. 4.22	2.2±0.7	1.5±0.5	1.0±0.4
32	38-50	134-28	1992. 4.23	3.3±0.7	1.6±0.5	2.1±0.4

表1-1 日本近海放射能調査結果—海水（平成4年）（続）

試料番号	採取位置		採取年月日	放射能濃度 (mBq/ℓ)		
	緯度(N)	経度(E)		¹³⁷ Cs	⁹⁰ Sr	¹⁴⁴ Ce
33	36-40	135-51	1992. 5. 16	2.8±0.6	1.6±0.4	1.5±0.4
34	37-40	134-54	1992. 5. 16	3.7±0.6	2.3±0.4	1.4±0.4
35	42-30	137-30	1992. 6. 13	2.9±0.7	2.5±0.5	1.4±0.4
36	41-10	140-00	1992. 6. 13	3.7±0.9	3.2±0.5	1.2±0.4
37	36-40	135-51	1992. 8. 6	4.0±0.7	2.3±0.4	2.3±0.8
38	37-40	134-54	1992. 8. 6	4.6±0.7	2.2±0.4	2.8±0.9
39	41-25	139-55	1992. 8. 13	2.9±0.8	2.4±0.5	1.8±1.0
40	43-30	138-00	1992. 8. 14	4.8±0.7	1.6±0.4	0.3±0.6
41	37-30	138-00	1992. 8. 23	2.2±0.7	2.7±0.4	0.4±0.6
42	39-50	134-16	1992. 8. 25	2.2±0.7	2.8±0.5	0.9±0.7
43	34-10	129-50	1992. 8. 29	2.9±0.7	2.4±0.4	0.3±1.3
44	34-25	130-10	1992. 8. 31	3.4±0.7	2.7±0.5	0.8±1.0
45	34-00	129-30	1992. 9. 1	3.3±0.7	2.3±0.5	1.3±0.6
46	33-40	129-50	1992. 9. 1	3.3±0.7	2.2±0.5	0.4±0.6
47	37-30	138-01	1992.11.14	4.6±0.7	2.2±0.4	0.7±0.7
48	39-00	134-00	1992.11.16	4.3±0.7	2.2±0.4	0.7±0.6
49	42-30	137-30	1992.11.19	3.7±0.7	2.1±0.4	1.3±0.5
50	36-40	135-50	1992.11.22	2.8±0.7	2.1±0.4	-0.4±0.5
51	37-40	134-50	1992.11.22	3.2±0.6	2.4±0.4	1.0±0.5
平均				3.3	2.1	1.2

表1-2 日本近海放射能調査結果—海底土（平成4年）

試料番号	採取位置		採取年月日	水深(m)	放射能濃度 (Bq/kg-乾土)				
	緯度(N)	経度(E)			^{239,240} Pu	¹³⁷ Cs	⁹⁰ Sr	⁶⁰ Co	¹⁴⁴ Ce
1	35-31.7	139-52.6	1992. 3. 4	20	2.8 ± 0.2	3.2 ± 0.1	0.07 ± 0.02	0.018 ± 0.008	-0.13 ± 0.29
2	35-35.0	135-20.0	1992. 6. 16	53	0.56 ± 0.02	4.0 ± 0.1	0.045 ± 0.003	0.013 ± 0.008	0.06 ± 0.23
3	43-12.0	141-10.0	1992. 8. 19	26	0.55 ± 0.02	1.0 ± 0.1	0.010 ± 0.003	0.002 ± 0.007	-0.04 ± 0.20
4	37-56.5	139-01.6	1992. 8. 21	20	0.17 ± 0.01	0.39 ± 0.06	0.015 ± 0.003	0.004 ± 0.007	-0.16 ± 0.21
5	31-30.0	130-38.0	1992. 8. 24	217	1.6 ± 0.06	1.6 ± 0.1	0.19 ± 0.01	0.081 ± 0.008	-0.05 ± 0.20
6	34-13.0	132-18.6	1992. 9. 10	18	0.70 ± 0.03	2.9 ± 0.1	0.078 ± 0.009	0.007 ± 0.007	-0.07 ± 0.19
7	35-31.7	139-52.6	1992.10.14	21	2.0 ± 0.06	3.8 ± 0.1	0.34 ± 0.11	0.024 ± 0.007	-----
8	38-16.0	141-10.5	1992.10.20	25	1.4 ± 0.05	2.8 ± 0.1	0.090 ± 0.007	0.021 ± 0.007	-0.24 ± 0.17
9	34-44.0	136-40.8	1992.11.15	32	0.94 ± 0.03	2.2 ± 0.1	0.18 ± 0.02	0.017 ± 0.007	0.27 ± 0.17
10	34-28.1	135-13.3	1992.11.18	22	0.94 ± 0.03	3.0 ± 0.1	0.12 ± 0.02	0.028 ± 0.007	-0.03 ± 0.16
平均				1.2	2.5	0.11	0.021	0	

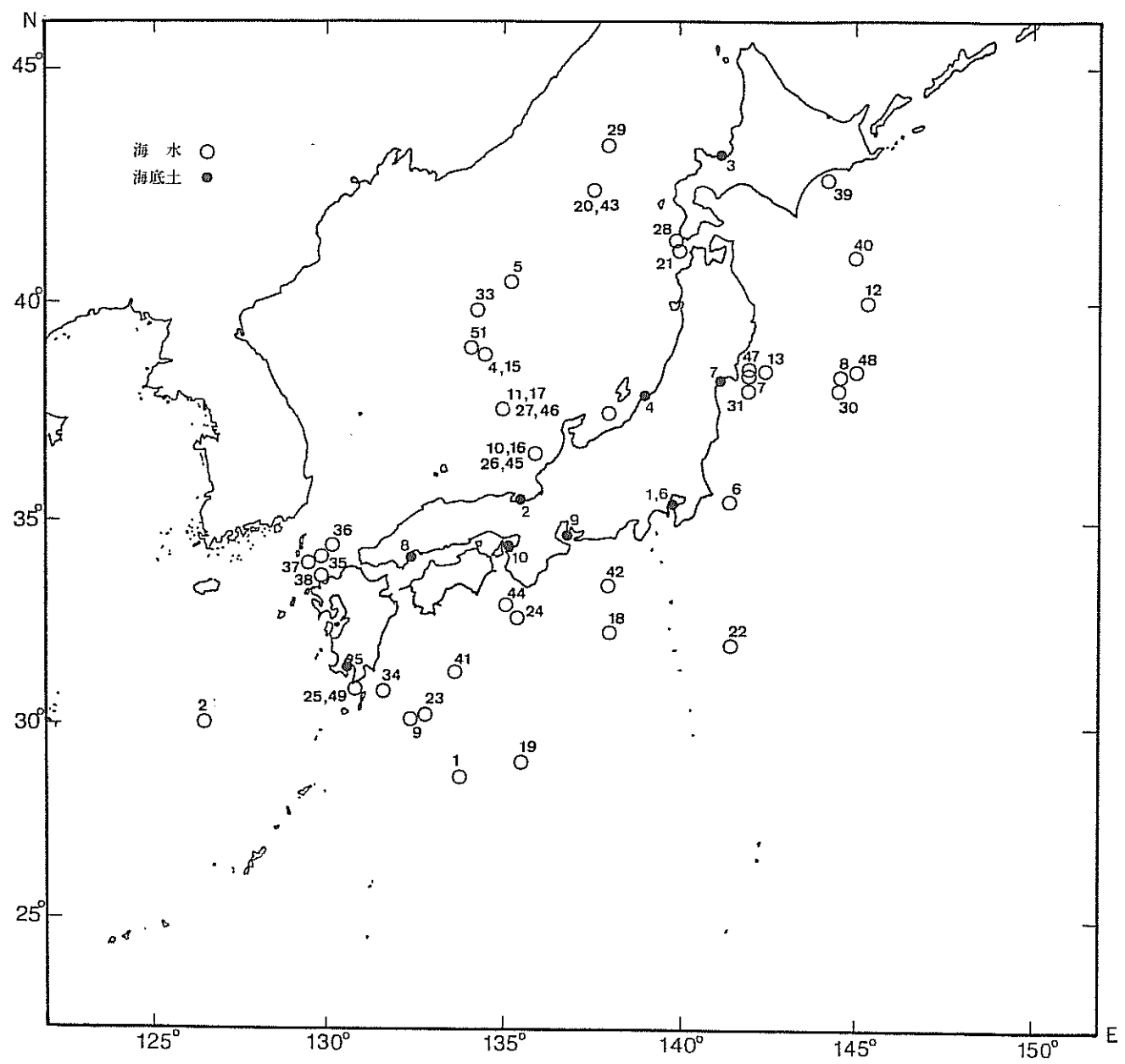


図1—1 日本近海放射能調査の試料採取点及び試料番号（平成4年）

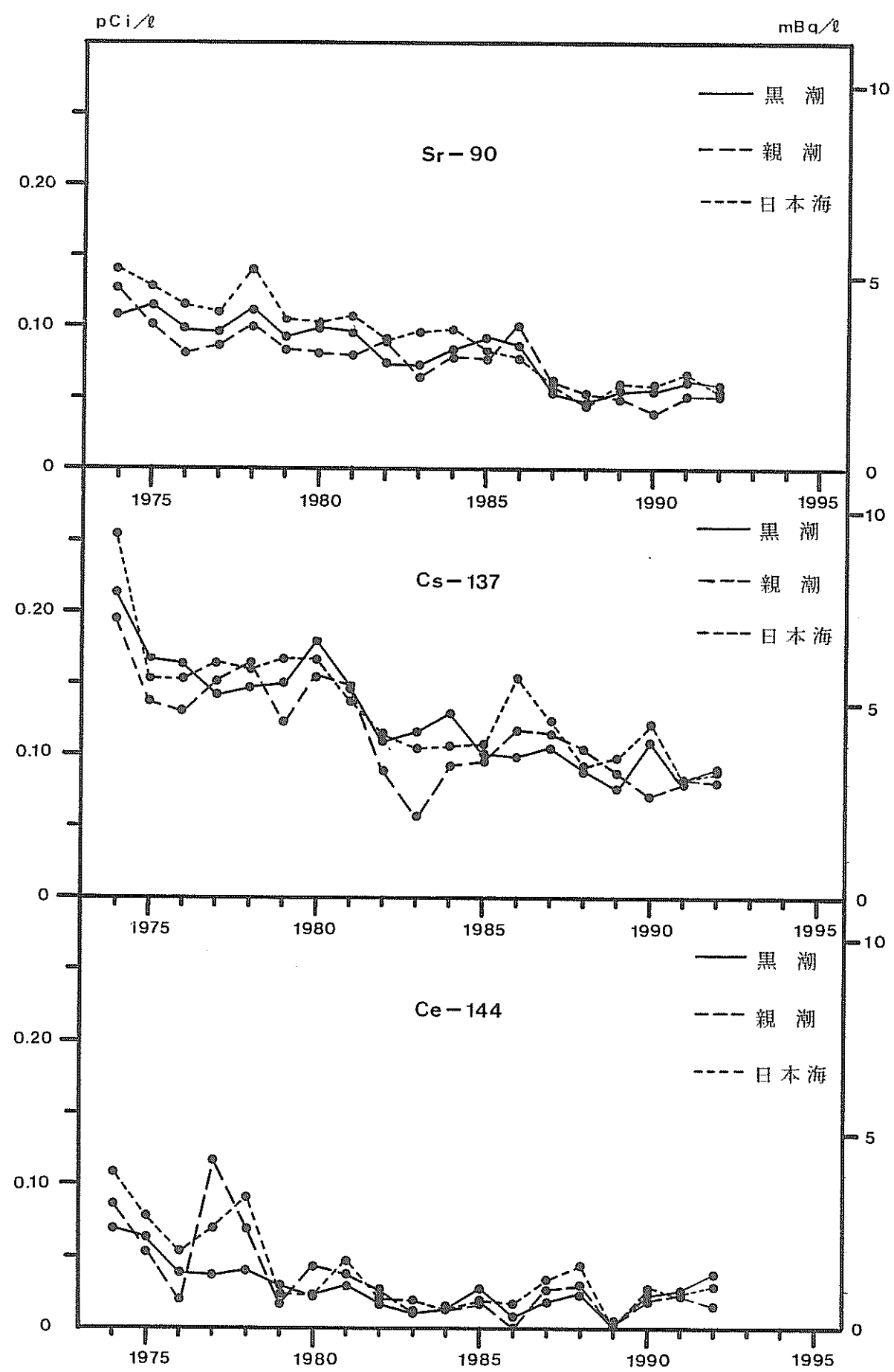


図 1-2 日本近海表面海水中の Sr-90、Cs-137 及び Ce-144 の年平均濃度の経年変化

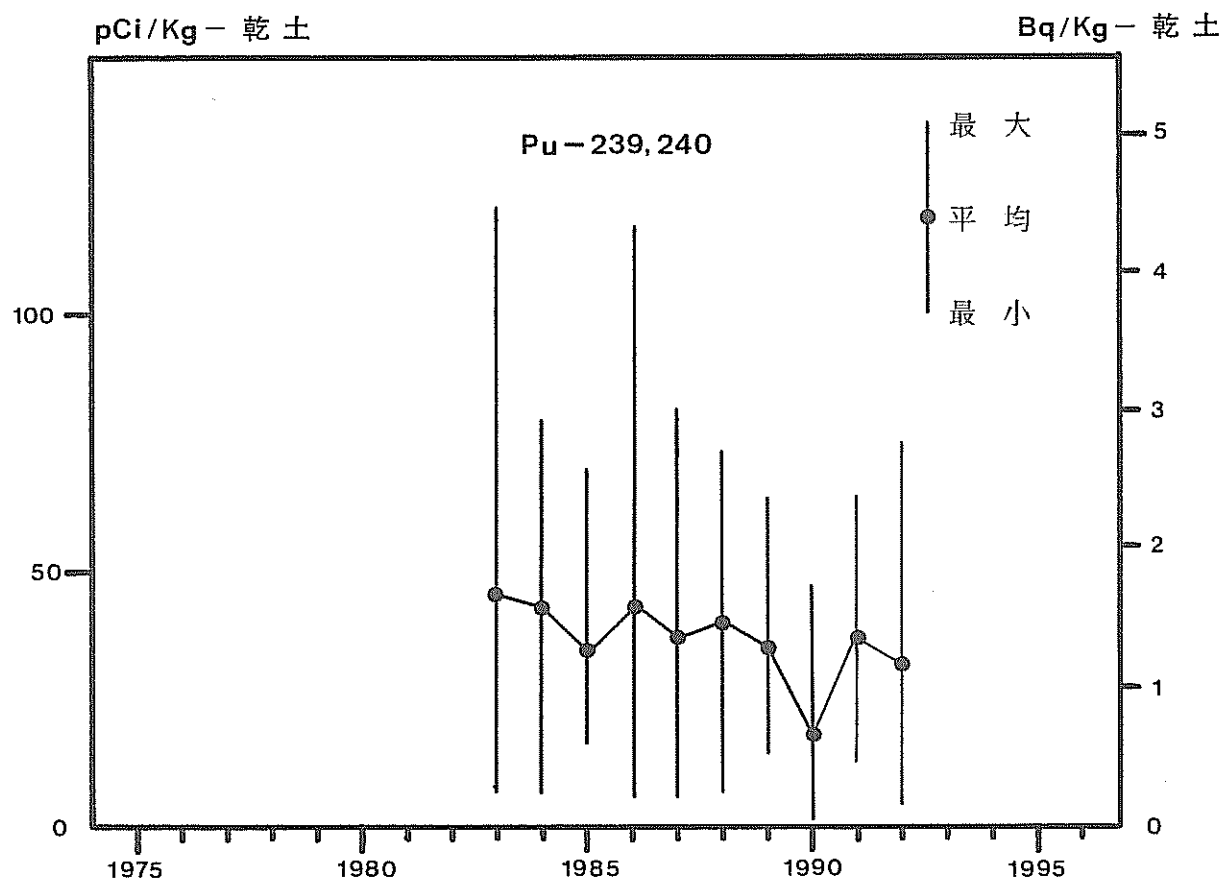


図1-3 日本近海海底土中のPu-239、240の経年変化

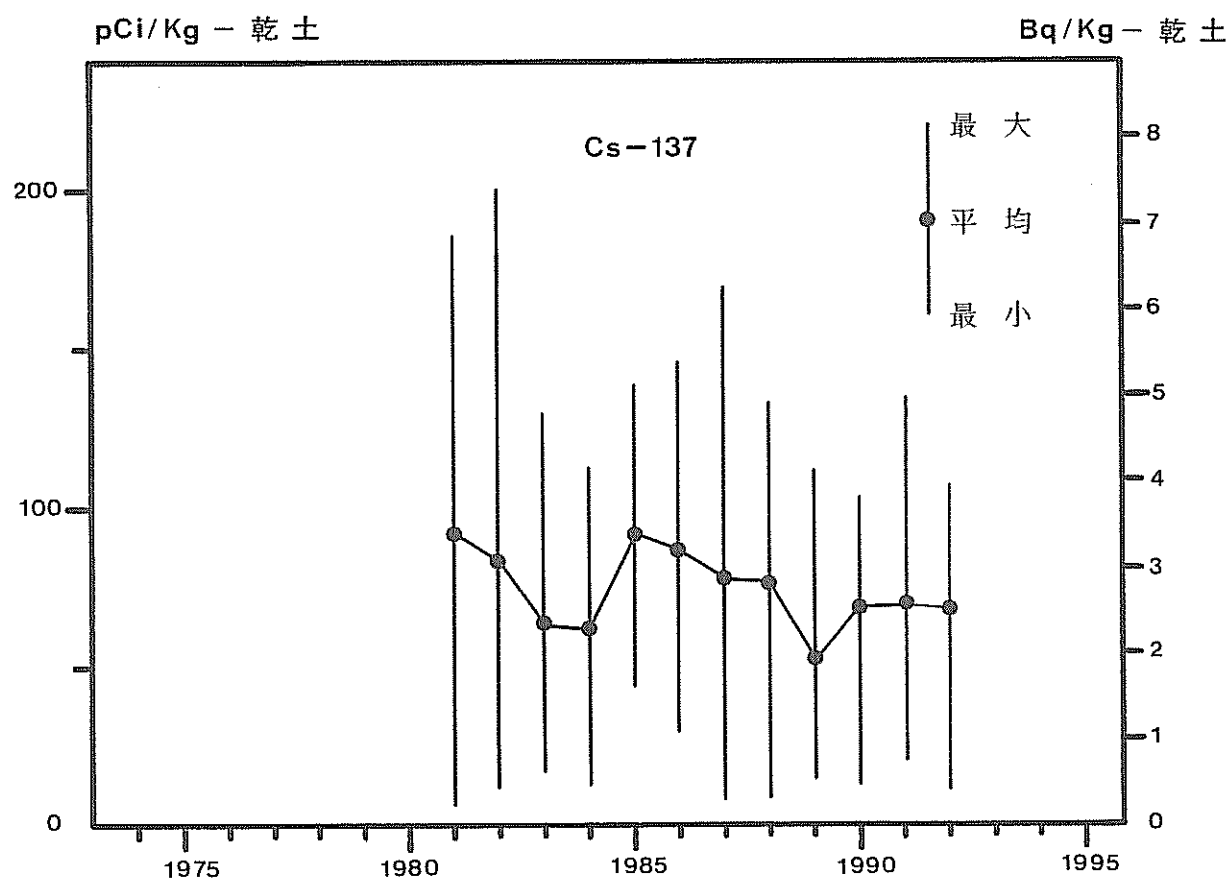


図1-4 日本近海海底土中のCs-137の経年変化

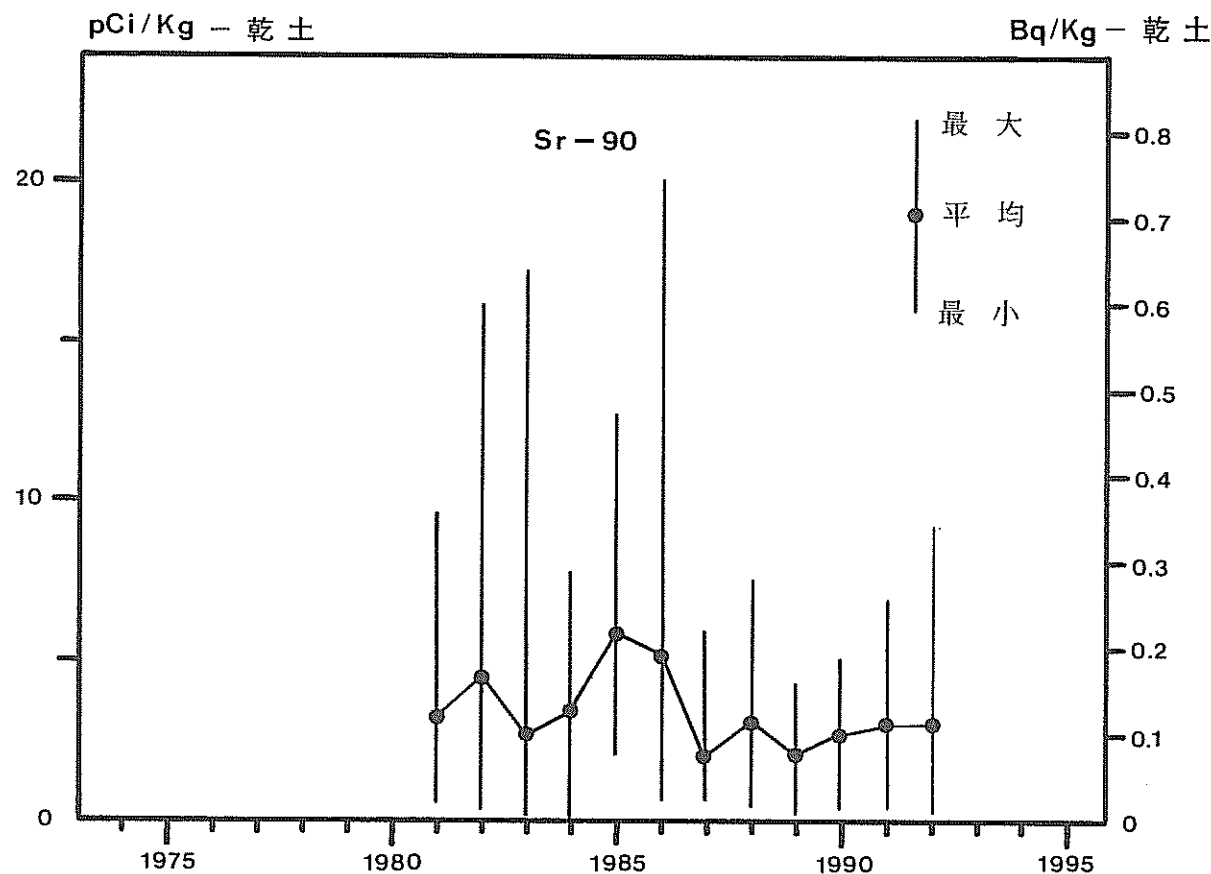


図1-5 日本近海海底土中のSr-90の経年変化

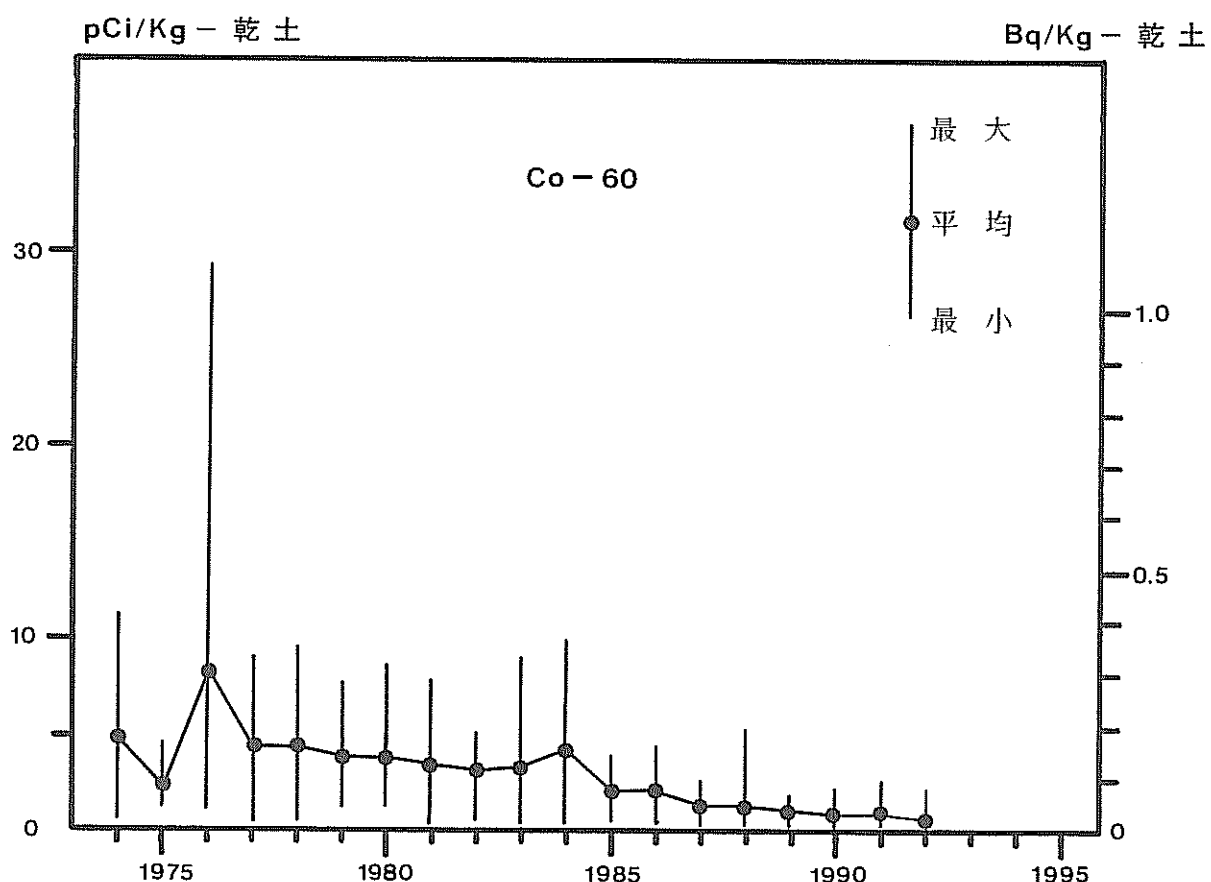


図1-6 日本近海海底土中のCo-60の経年変化

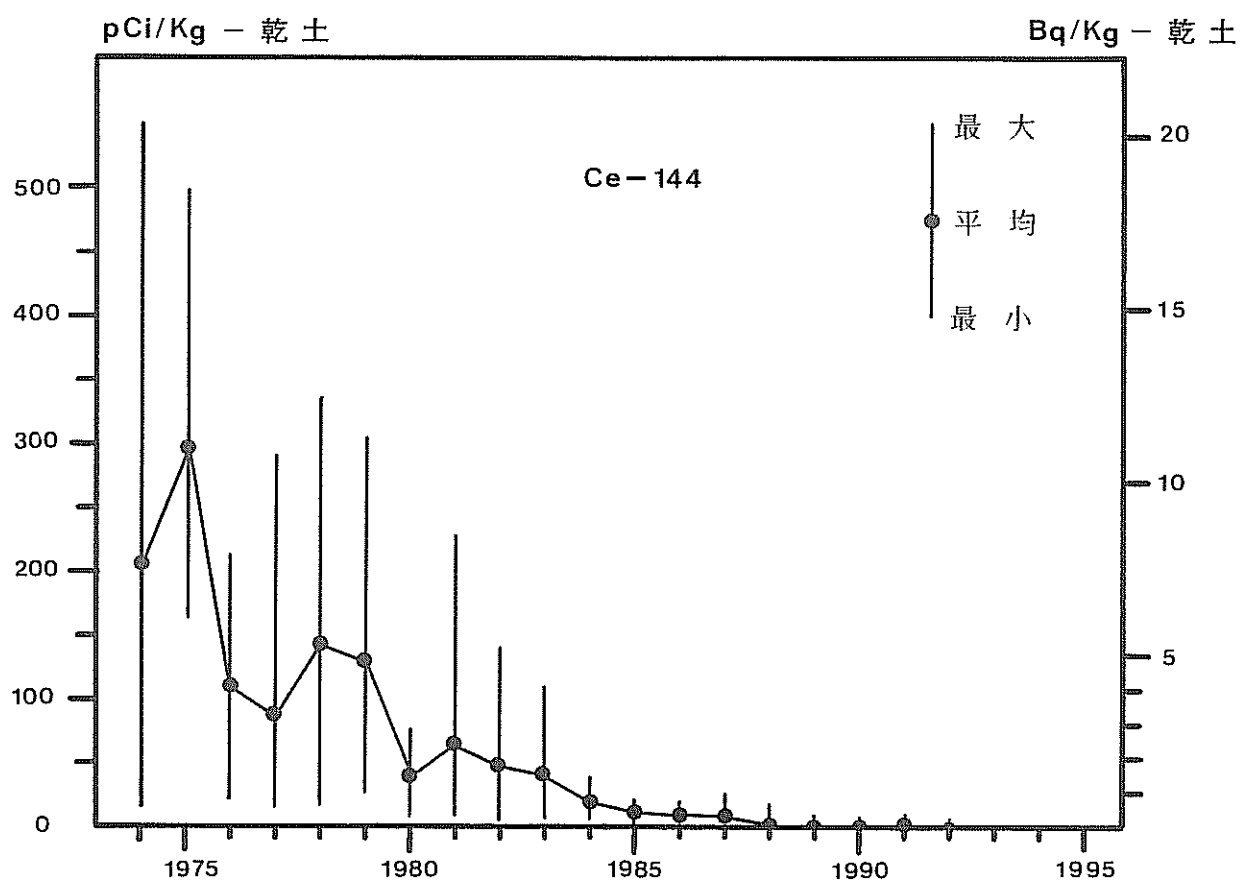


図 1—7 日本近海海底土中の Ce-144 の経年変化

2. 核燃料再処理施設周辺海域の放射能調査

2.1 調査の概要

この調査は、使用済み核燃料再処理施設（以下「再処理施設」という。）から海洋中に放出される低レベルの放射性廃液が周辺海域の環境放射能に及ぼす影響を把握するため、及び同海域における被曝線量の評価に資するために、昭和49年（1974年）以来、毎年2回海水及び海底土を採取し、測定を行っているものである。今回の報告は平成4年（1992年）の調査結果をまとめたものである。

2.1.1 調査海域

再処理施設周辺海域（以下「常磐沖」という。）における試料の採取点は、図2に示す通りであり、各採取点（○印）に付した数字は測点番号である。

なお、採取点及び測点番号は例年に同じである。

2.1.2 試料採取

試料の採取は、第1回目を3月4日～3月13日に、第2回目を10月14日～10月21日に行った。

採水は、表層（0～1m）及び一部の測点については底層についても実施した。表面海水は船上の自吸式揚水ポンプ、底層水はプラスチック製大型採水器を用い、20～40ℓを採取し、直ちに塩酸（2mℓ/1ℓ海水）を加えた。

海底土はスミス・マッキンタイヤ型、又はカンナ型採泥器（歯先2cm）を用いて採取した。スミス・マッキンタイヤ型の場合は、表層約2cmを分け取った。

2.1.3 測点項目

測定にはゲルマニウム半導体検出器によるガンマ線分光分析法を用い、一部の海水試料については放射化学分析を併用した。放射化学分析法で測定した核種は次のとおりである。

{	セシウム-137	(Cs-137、半減期 30年)
	ストロンチウム-90	(Sr-90、半減期 29年)
	セリウム-144	(Ce-144、半減期 284日)

また、海底土試料については粒度分析を併せて行った。

2.2 放射能測定

2.2.1 ガンマ線分光分析

(1) 試料の処理

海水(約20ℓ)は、りんモリブデン酸アンモニウム吸着法及び二酸化マンガン吸着法により濃縮し、径47mm、孔径0.45μmのメンブレンフィルタ上に捕集し、プラスチック容器に入れ計測試料とした。この場合、化学収率の補正は行っていない。

海底土は、乾燥、粉碎し、目開き2mmのふるいを通過したものを、プラスチック製逆ウェル型容器(径13.5cm、高さ10.5cm、容量1,200cm³)又は、プラスチック製円筒型容器(径6.6cm、高さ3.5cm、容量120cm³)に入れ、計測試料とした。

(2) 測 定

検出器は、ORTEC社製GEM40195型ゲルマニウム半導体検出器を使用した。冷却容器及び検出器のしゃへいには、それぞれ5cm厚及び10cm厚の鉛を用いた。

波高分析にはCANBERRA社製2802型マルチチャネルアナライザを用い、チャネル幅は0.5keV/ch、計測エネルギー範囲は100keV～2,000keV、計測時間は80,000秒とした。

核種の同定及び定量には東陽テクニカ社製ガンマ線分光分析ソフトウェアPC/GAMMAを用いた。

2.2.2 放射化学分析

分析法等は1.2(「日本近海における海水及び海底土の放射能調査」の放射能測定)と同じである。

2.3 粒度分析

採取した海底土試料を無処理の状態で一定量取り、蒸留水を用いる「洗いふるい分け法」により各粒径フラクションに分画し、それらの乾燥重量から粒径加積曲線図を描き、この図から中央粒径及び各フラクションの質量百分率を求めた。

2.4 結 果

平成4年3月及び10月に採取した試料の測定結果を、海水については表2-1及び表2-3に、海底土については粒度分析の結果も併せて表2-2及び表2-4にそれぞれ示す。なお、表中、放射化学分析で得た結果は()内にその値を示してある。ガンマ線分光分析による結果は、検出された核種の濃度を有効数字2桁以下で計数誤差とともに表示し、また検出されなかった核種については*印で表示した。なお計数誤差は放射能濃度の最終桁にそろえてある。

放射化学分析法による結果についても同様に有効数字2桁以下で計数誤差とともに表示した。なお、放射能濃度には短半減期の同位体を含むことがある。

2.4.1 海 水

ガンマ線分光分析で検出された核種としてその変動等に着目している物質は Cs-137 で、その濃度は 2.2~4.8mBq/ℓ の範囲にあり、日本近海と同様なレベルである。

Sr-90 は 1.5~3.1mBq/ℓ の範囲にあり、同時期の日本近海のレベルと同様である。

Ce-144 は、いずれも低いレベルであった。

2.4.2 海底土

ガンマ線分光分析で検出された核種としてその変動等に着目している物質は海水と同様 Cs-137 で、その濃度は 0.24~3.9Bq/kg—乾土の範囲にあり、日本近海と同様なレベルである。

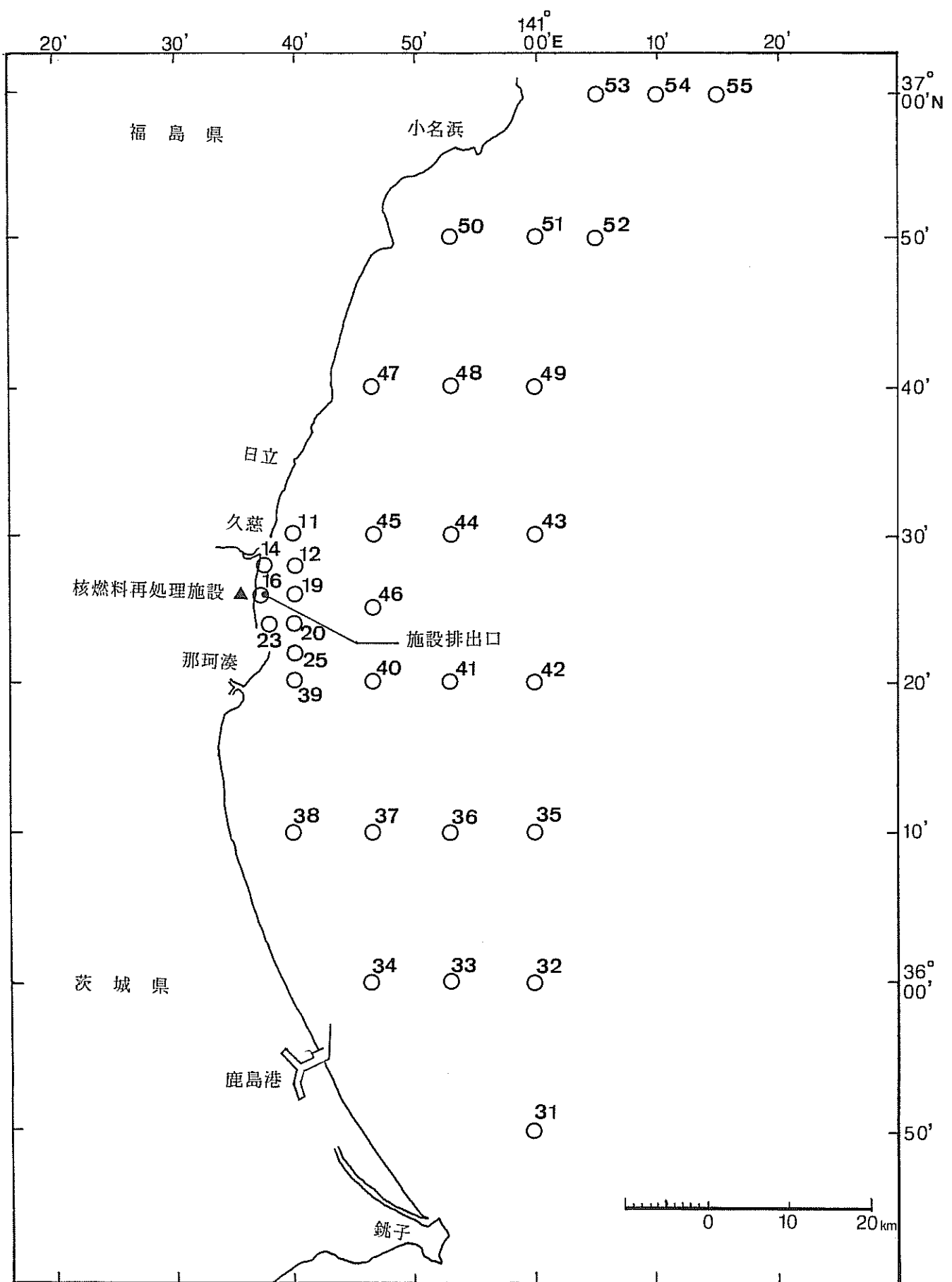


図2 常磐沖放射能調査の試料採取点及び測点番号

表2-1 常磐沖放射能調査結果—海水（平成4年3月）

測点番号	採取位置		採取年月日		採取深度(m)	採取深度(m)	水温°C	塩分	放射能濃度(mBq/l)		^{90}Sr
	緯度(N)	経度(E)	採取年月日	(m)					^{137}Cs	^{106}Ru	
11	36-30.0	140-40.0	1992. 3. 6	24	0	12.6	34.548	3.1±0.5	*	*	
12	36-28.0	140-40.0	1992. 3. 6	31	0	13.0	34.541	4.2±0.5	*	*	(2.1±0.5)
					27		34.523	(3.3±0.7)	*		
								3.3±0.5	*		
14	36-28.0	140-38.0	1992. 3. 6	12	0	12.1	34.199	(3.2±0.6)			(1.6±0.5)
16	36-26.0	140-38.0	1992. 3. 6	21	0	12.9	34.219	3.8±0.5	*	*	
					18		34.486	2.7±0.5	*		
								(4.8±0.7)	*		
19	36-26.0	140-40.0	1992. 3. 6	29	0	14.2	34.543	2.2±0.5	*		(0.7±0.7)
					25		34.537	(3.7±0.7)	*		
								3.7±0.7	*		
20	36-24.0	140-40.0	1992. 3. 6	31	0	13.0	34.537	3.4±0.5	*		(3.1±0.5)
					27		34.536	(3.7±0.6)	*		
								3.7±0.6	*		
23	36-24.0	140-38.0	1992. 3. 6	21	0	12.7	34.482	3.5±0.4	*		(-0.5±0.6)
25	36-22.0	140-40.0	1992. 3. 6	32	0	12.9	34.529	4.3±0.5	*		(2.0±0.4)
31	35-50.0	141-00.0	1992. 3. 5	110	0	14.2	34.703	3.9±0.5	*		
32	36-00.0	141-00.0	1992. 3. 5	219	0	15.3	34.719	3.8±0.5	*		
33	36-00.0	140-53.0	1992. 3. 5	100	0	14.6	34.694	3.2±0.5	*		

表2-1 (続)

測点番号	採取位置		採取年月日		水深(m)	採取深度(m)	水温 °C	塩分	放射能濃度 (mBq/L)	
	緯度(N)	経度(E)	採取年月日	(m)					¹³⁷ Cs	¹⁰⁶ Ru
34	36-00.0	140-46.0	1992. 3. 5	30	0	13.4	34.632	4.1±0.5	*	*
35	36-10.0	141-00.0	1992. 3. 5	440	0	15.1	34.678	4.4±0.5	*	*
36	36-10.0	140-53.0	1992. 3. 5	166	0	15.1	34.704	4.0±0.5	*	*
37	36-10.0	140-47.0	1992. 3. 5	48	0	14.8	34.688	4.0±0.5	*	*
38	36-10.0	140-40.0	1992. 3. 5	27	0	12.9	34.471	3.0±0.5	*	*
39	36-20.0	140-40.0	1992. 3. 6	31	0	12.6	34.507	3.4±0.5	*	*
40	36-20.0	140-46.0	1992. 3. 7	61	0	14.7	34.664	3.1±0.5	*	*
41	36-20.0	140-53.0	1992. 3. 7	150	0	14.8	34.682	3.7±0.5	*	*
42	36-20.0	141-00.0	1992. 3. 7	500	0	14.7	34.684	4.1±0.5	*	*
43	36-30.0	141-00.0	1992. 3. 7	286	0	14.8	34.688	4.2±0.5	*	*
44	36-30.0	140-53.0	1992. 3. 7	117	0	14.7	34.686	4.1±0.4	*	*
45	36-30.0	140-46.0	1992. 3. 7	60	0	14.2	34.671	3.8±0.5	*	*
46	36-25.0	140-46.0	1992. 3. 7	66	0	14.0	34.279	4.2±0.5	*	*
47	36-40.0	140-46.0	1992. 3. 8	34	0	12.6	34.550	4.7±0.5	*	*
48	36-40.0	140-53.0	1992. 3. 8	72	0	13.1	34.578	3.2±0.5	*	*
49	36-40.0	141-00.0	1992. 3. 8	129	0	14.7	34.689	3.4±0.5	*	*
50	36-50.0	140-53.0	1992. 3. 8	40	0	13.0	34.484	4.4±0.5	*	*
51	36-50.0	141-00.0	1992. 3. 8	95	0	13.4	34.534	3.3±0.5	*	*
52	36-50.0	141-05.0	1992. 3. 8	127	0	13.4	34.543	3.5±0.5	*	*
53	37-00.0	141-05.0	1992. 3. 9	90	0	11.8	34.253	4.3±0.7	*	*
54	37-00.0	141-10.0	1992. 3. 9	131	0	12.6	34.483	2.9±0.5	*	*
55	37-00.0	141-15.0	1992. 3. 9	141	0	10.9	34.240	3.3±0.5	*	*

表2-2 常磐沖放射能調査結果—海底土(平成4年3月)

測点番号	採取位置		採取年月日	水深(m)	放射能濃度(Bq/kg-乾土)			粒度 分布(%)			中央粒径(μm)
	緯度(N)	経度(E)			¹³⁷ Cs	¹⁰⁶ Ru	¹³⁴ Ce	2>mm	2~0.42mm	0.42~0.074mm	
11	36-30.0	140-40.0	1992.3.6	24	0.80±0.05	*	*	26.9	30.6	35.7	6.8
12	36-28.0	140-40.0	1992.3.6	31	0.51±0.04	*	*	7.0	38.5	51.1	3.4
14	36-28.0	140-38.0	1992.3.6	12	0.59±0.05	*	*	0.1	1.5	90.2	8.2
16	36-26.0	140-38.0	1992.3.6	21	0.91±0.06	*	*	15.6	17.1	25.3	42.0
19	36-26.0	140-40.0	1992.3.6	29	0.32±0.04	*	*	68.6	26.1	4.1	1.2
20	36-24.0	140-40.0	1992.3.6	31	0.63±0.04	*	*	13.6	76.9	7.3	2.2
23	36-24.0	140-38.0	1992.3.6	21	1.2±0.1	*	*	2.0	21.6	51.0	1060
25	36-22.0	140-40.0	1992.3.6	32	0.45±0.05	*	*	10.4	75.1	13.2	185
31	35-50.0	141-00.0	1992.3.5	110	2.5±0.1	*	*	0.0	0.4	38.7	753
32	36-00.0	141-00.0	1992.3.5	219	1.6±0.1	*	*	0.0	1.0	60.6	60.9
33	36-00.0	140-53.0	1992.3.5	100	1.4±0.1	*	*	0.0	0.8	71.1	---
34	36-00.0	140-46.0	1992.3.5	30	0.35±0.04	*	*	0.0	1.1	96.5	106
35	36-10.0	141-00.0	1992.3.5	440	2.5±0.1	*	*	0.0	0.5	28.0	38.4
36	36-10.0	140-53.0	1992.3.5	166	1.7±0.1	*	*	0.0	1.0	71.5	2.4
37	36-10.0	140-47.0	1992.3.5	48	0.40±0.04	*	*	0.2	10.9	68.9	140
38	36-10.0	140-40.0	1992.3.5	27	0.62±0.04	*	*	0.7	3.1	86.3	206
39	36-20.0	140-40.0	1992.3.6	31	2.6±0.1	*	*	4.3	34.4	2.5	172
										29.6	277

表2-2 (続)

測点番号	採取位置		採取年月日	水深(m)	放射能濃度(Bq/kg乾土)			粒度分布(%)			中粒粒径(μm)
	緯度(N)	経度(E)			¹³⁷ Cs	¹⁰⁶ Ru	¹⁴⁴ Ce	2>mm	2~0.42mm	0.42~0.074mm	
40	36-20.0	140-46.0	1992.3.7	61	0.66±0.05	*	*	1.5	25.0	70.6	2.9
41	36-20.0	140-53.0	1992.3.7	150	1.5±0.1	*	*	0.3	11.2	78.7	9.8
42	36-20.0	141-00.0	1992.3.7	500	3.3±0.2	*	*	---	---	---	---
43	36-30.0	141-00.0	1992.3.7	286	1.9±0.1	*	*	0.0	0.7	63.4	35.9
44	36-30.0	140-53.0	1992.3.7	117	1.7±0.1	*	*	0.2	10.8	64.4	24.6
45	36-30.0	140-46.0	1992.3.7	60	1.8±0.1	*	*	1.1	8.3	71.5	19.1
46	36-25.0	140-46.0	1992.3.7	66	1.4±0.1	*	*	0.3	6.8	77.8	15.1
47	36-40.0	140-46.0	1992.3.8	34	0.82±0.06	*	*	0.9	3.6	88.1	7.4
48	36-40.0	140-53.0	1992.3.8	72	2.6±0.1	*	*	0.0	0.7	39.6	59.7
49	36-40.0	141-00.0	1992.3.8	129	2.4±0.1	*	*	1.4	8.6	53.7	36.3
50	36-50.0	140-53.0	1992.3.8	40	0.91±0.06	*	*	0.1	1.6	65.9	32.4
51	36-50.0	141-00.0	1992.3.8	95	3.9±0.1	*	*	0.0	0.3	19.6	80.1
52	36-50.0	141-05.0	1992.3.8	127	3.1±0.1	*	*	5.1	12.1	32.2	50.6
53	37-00.0	141-05.0	1992.3.9	90	2.0±0.1	*	*	0.0	0.2	42.8	57.0
54	37-00.0	141-10.0	1992.3.9	131	3.4±0.1	*	*	0.1	5.0	28.3	66.6
55	37-00.0	141-15.0	1992.3.9	141	2.1±0.1	*	*	1.0	23.4	40.3	35.3

表2-3 常磐沖放射能調査結果一海水(平成4年10月)

測点番号	採取位置		採取年月日		水深(m)	採取深度(m)	水温°C	塩分	放射能濃度(mBq/l)		
	緯度(N)	経度(E)							¹³⁷ Cs	¹⁰⁶ Ru	¹⁴⁴ Ce
11	36-30.0	140-40.0	1992.10.16	24	0	18.0	33.487	3.3±0.5	*	*	*
12	36-28.0	140-40.0	1992.10.16	30	0	18.0	33.540	4.0±0.5 (3.4±0.7)	*	*	(2.2±0.4)
14	36-28.0	140-38.0	1992.10.16	13	0	18.0	33.693	2.2±0.5 (3.6±0.7)	*	*	(2.5±0.4)
			1992.10.16	19	0	17.7	32.999	3.2±0.6	*	*	(~0.1±0.4)
16	36-26.0	140-38.0	1992.10.16	19	0	17.7	31.295	2.4±0.5 (2.5±0.7)	*	*	(2.0±0.4)
					16		33.633	2.5±0.5	*	*	(0.2±0.4)
19	36-26.0	140-40.0	1992.10.16	27	0	18.0	33.578	(2.8±0.6) 3.2±0.5	*	*	(0.7±0.4)
					24		33.689	(4.2±0.7) 3.5±0.5	*	*	(2.5±0.4)
20	36-24.0	140-40.0	1992.10.16	29	0	17.9	33.683	2.2±0.7 (3.3±0.6)	*	*	(1.6±0.4)
					26		33.693	(3.0±0.6) 2.9±0.5	*	*	(0.5±0.4)
23	36-24.0	140-38.0	1992.10.16	21	0	17.9	32.401	(3.4±0.6) 3.0±0.5	*	*	(2.0±0.4)
			1992.10.16	34	0	18.0	33.707	2.5±0.5	*	*	(2.3±0.4)
25	36-22.0	140-40.0	1992.10.16	34	0	18.0	33.583	2.6±0.9	*	*	*
31	35-50.0	141-00.0	1992.10.15	111	0	17.7	33.711	3.4±0.6	*	*	*
32	36-00.0	141-00.0	1992.10.15	215	0	17.7	33.817	3.0±0.5	*	*	*
33	36-00.0	140-53.0	1992.10.15	102	0	17.7					

表2-3 (続)

測点番号	採取位置		採取年月日	水深(m)	採取深度(m)	水温°C	実用塩分	放射能濃度(mBq/ℓ)			
	緯度(N)	経度(E)						^{137}Cs	^{106}Ru	^{144}Ce	^{90}Sr
34	36-00.0	140-46.0	1992.10.15	22	0	18.0	33.761	3.5±0.5	*	*	*
35	36-10.0	141-00.0	1992.10.15	442	0	17.5	33.698	3.9±0.5	*	*	*
36	36-10.0	140-53.0	1992.10.17	155	0	16.6	33.716	3.2±0.5	*	*	*
37	36-10.0	140-47.0	1992.10.17	61	0	18.0	33.702	3.4±0.5	*	*	*
38	36-10.0	140-40.0	1992.10.16	27	0	18.2	33.697	3.1±0.5	*	*	*
39	36-20.0	140-40.0	1992.10.16	32	0	18.0	33.732	3.5±0.5	*	*	*
40	36-20.0	140-46.0	1992.10.16	66	0	16.6	33.665	3.0±0.5	*	*	*
41	36-20.0	140-53.0	1992.10.17	162	0	17.0	33.710	4.0±0.5	*	*	*
42	36-20.0	141-00.0	1992.10.17	504	0	16.9	33.558	3.4±0.5	*	*	*
43	36-30.0	141-00.0	1992.10.17	294	0	16.0	33.395	2.4±0.5	*	*	*
44	36-30.0	140-53.0	1992.10.17	112	0	16.4	33.712	3.4±0.9	*	*	*
45	36-30.0	140-46.0	1992.10.16	55	0	18.3	33.689	2.9±0.5	*	*	*
46	36-25.0	140-46.0	1992.10.16	60	0	18.0	33.692	3.5±0.5	*	*	*
47	36-40.0	140-46.0	1992.10.18	37	0	17.5	33.658	3.4±0.5	*	*	*
48	36-40.0	140-53.0	1992.10.18	84	0	17.5	33.780	4.2±0.5	*	*	*
49	36-40.0	141-00.0	1992.10.18	128	0	17.0	33.898	2.3±0.6	*	*	*
50	36-50.0	140-53.0	1992.10.18	41	0	17.5	33.615	3.8±0.5	*	*	*
51	36-50.0	141-00.0	1992.10.18	92	0	17.0	33.859	4.0±0.5	*	*	*

表2-4 常磐沖放射能調査結果—海底土（平成4年10月）

測点番号	採取位置		採取年月日	水深(m)	放射能濃度(Bq/kg-乾土)			粒度分布(%)			中央粒径(μm)
	緯度(N)	経度(E)			^{137}Cs	^{106}Ru	^{144}Ce	2>mm	2~0.42mm	0.42~0.074mm	
11	36-30.0	140-40.0	1992.10.16	24	0.61±0.04	*	*	9.1	19.0	58.2	13.7
12	36-28.0	140-40.0	1992.10.16	30	0.36±0.04	*	*	10.2	47.8	39.2	2.8
14	36-28.0	140-38.0	1992.10.16	13	0.52±0.05	*	*	0.1	1.2	84.4	14.3
16	36-26.0	140-38.0	1992.10.16	19	0.41±0.04	*	*	0.4	1.9	88.2	9.5
19	36-26.0	140-40.0	1992.10.16	27	0.45±0.04	*	*	53.4	31.2	12.1	3.3
20	36-24.0	140-40.0	1992.10.16	29	0.57±0.04	*	*	29.6	36.1	26.9	7.4
23	36-24.0	140-38.0	1992.10.16	21	0.24±0.12	*	*	---	---	---	---
25	36-22.0	140-40.0	1992.10.16	34	0.98±0.05	*	*	30.1	52.7	12.4	4.8
31	35-50.0	141-00.0	1992.10.15	111	2.2 ±0.1	*	*	0.0	1.9	34.8	63.3
32	36-00.0	141-00.0	1992.10.15	215	1.3 ±0.1	*	*	0.0	1.8	67.0	31.2
33	36-00.0	140-53.0	1992.10.15	102	1.4 ±0.1	*	*	0.0	0.5	73.6	25.9
34	36-00.0	140-46.0	1992.10.15	22	0.32±0.04	*	*	0.0	2.2	93.3	4.5
35	36-10.0	141-00.0	1992.10.15	442	1.9 ±0.2	*	*	---	---	---	---
36	36-10.0	140-53.0	1992.10.17	155	1.1 ±0.1	*	*	0.2	2.5	81.2	16.1
37	36-10.0	140-47.0	1992.10.17	61	0.29±0.04	*	*	13.3	65.9	18.5	2.3
38	36-10.0	140-40.0	1992.10.16	27	0.65±0.04	*	*	0.3	1.7	88.8	9.2
39	36-20.0	140-40.0	1992.10.16	32	0.83±0.05	*	*	26.6	20.7	43.6	9.1

表2-4 (続)

測点番号	採取位置		採取年月日	水深(m)	放射能濃度(Bq/kg-乾土)			粒度分布(%)			中央粒径(μm)
	緯度(N)	経度(E)			¹³⁷ Cs	¹⁰⁶ Ru	¹⁴¹ Ce	2>mm	2~0.42mm	0.42~0.074mm	
40	36-20.0	140-46.0	1992.10.16	66	0.61±0.04	*	*	36.1	36.9	19.8	7.2
41	36-20.0	140-53.0	1992.10.17	162	1.2±0.1	*	*	0.1	8.9	81.7	9.3
42	36-20.0	141-00.0	1992.10.17	504	3.2±0.1	*	*	---	---	---	---
43	36-30.0	141-00.0	1992.10.17	294	2.1±0.1	*	*	0.0	1.4	63.6	35.0
44	36-30.0	140-53.0	1992.10.17	112	1.7±0.1	*	*	0.0	7.7	62.8	29.5
45	36-30.0	140-46.0	1992.10.16	55	1.6±0.1	*	*	41.7	32.5	15.4	10.4
46	36-25.0	140-46.0	1992.10.16	60	1.7±0.1	*	*	0.8	8.2	74.2	16.8
47	36-40.0	140-46.0	1992.10.18	37	0.62±0.04	*	*	1.2	32.0	63.6	3.2
48	36-40.0	140-53.0	1992.10.18	84	2.0±0.1	*	*	0.3	1.5	39.8	58.4
49	36-40.0	141-00.0	1992.10.18	128	2.1±0.1	*	*	0.5	7.8	56.2	35.5
50	36-50.0	140-53.0	1992.10.18	41	0.89±0.05	*	*	0.0	0.9	65.6	33.5
51	36-50.0	141-00.0	1992.10.18	92	3.6±0.1	*	*	0.0	0.8	19.2	80.0

3. 深海の海水・海底土放射能調査

3.1 調査の概要

この調査は、日本周辺における深海域の海水及び海底土中の人工放射性核種を調査し、その立体分布状況を明らかにするとともに、その核種の動態を把握するものである。調査点は、昭和47年度（1972年度）から実施しているB海域を、昭和59年度（1984年度）からはB海域も含めその周辺海域も調査してきた。

今回の報告は、平成4年（1992年）の調査結果を取りまとめたものである。

3.1.1 調査海域

試料の採取点は図3-1に示すとおりである。なお、採取点に付した数字は測点番号である。

3.1.2 試料採取

試料採取は、本庁水路部所属の測量船「昭洋」（総トン数1,900トン）により、平成4年6月7日～6月22日に行った。

採取深度は、0m、10m、100m、250m、500m、750m、1,000m、1,250m、1,500m、2,000m、4,000m、及び底上10m、100mの13層について実施した。深度0m層は、自吸式揚水ポンプを用い、他の層は、プラスチック製メッセンジャー式100ℓ採水器（離合社製）を用いた。各層における採取量は約100ℓで、採取後直ちに塩酸（2mℓ/1ℓ海水）を加えた。なお、採水深度の決定にはピンガー（Benthos社製2216型、12kHz）及び転倒式温度計を用いた。

海底土は、スミス・マッキンタイヤ改良型採泥器（離合社製、重量約180kg、採取面積約0.1m²）を用いて採取し、表層部約2cmを分け取った。

なお、採取点の位置決定はNNSS及びロランCによった。

3.1.3 測定項目

各試料の測定核種は次の通りである。

海 水	セ シ ウ ム-137	(Cs-137、半減期 30年)
	ストロンチウム-90	(Sr-90、半減期 29年)
	プルトニウム-239,240	(Pu-239、半減期 24,100年) (Pu-240、半減期 6,570年)
海底土	セ シ ウ ム-137	(Cs-137、半減期 30年)
	ストロンチウム-90	(Sr-90、半減期 29年)
	コ バ ル ト-60	(Co-60、半減期 5.3年)
	プルトニウム-239,240	(Pu-239、半減期 24,100年) (Pu-240、半減期 6,570年)

3.2 放射能測定

各試料は核種毎に以下のような化学処理を行い、分離精製し、ベータ線計測あるいはアルファ線計測を行った。化学収率の補正值は、Puでは添加したPu-242の計数値から、Srでは標準添加法を用いる原子吸光光度法で、その他の核種ではいずれも添加した担体の回収重量から求めた。

3.2.1 放射化学分析

(1) 海 水

[Cs-137] 塩酸酸性の海水試料にりんモリブデン酸アンモニウムを加えCsを吸着させ、ろ別した(上澄み液、ろ液はSr-90及びPu-239,240の分析に用いる)。このりんモリブデン酸アンモニウムを水酸化ナトリウム水溶液で溶解し、DuoliteC-3を用いる陽イオン交換法で分離精製の後、塩化白金酸塩として沈澱させ、ろ別し、乾燥して計測試料とした。

[Sr-90] Cs-137の分析中に得られた上澄み液、ろ液に亜硝酸ナトリウム及び炭酸ナトリウムを加え、Sr及びPuを沈澱させ、ろ別した。沈澱物は硝酸で溶解し、その溶液を煮沸して炭酸ガスを除いた後、水酸化ナトリウムを加え弱塩基性としてPuを水酸化マグネシウムと共に沈させ、ろ別した(沈澱物はPu-239,240の分析に用いる)。

ろ液は酸性とした後、イットリウム担体を加え2週間以上放置する。Sr-90と放射平衡にあるイットリウム-90(Y-90)を水酸化物として沈澱させ、ろ別した後、沈澱物を塩酸で溶解し、りん酸水素ビス(2-エチルヘキシル)抽出法、陽イオン交換法によってYを分離精製し、これをしづう酸塩として沈澱させ、ろ別し、乾燥して計測試料とした。

[Pu-239,240] Sr-90の分析中に得られた沈澱物を硝酸で溶解し、溶解液を蒸発濃縮した後、熱8.4N 硝酸に溶解し、過酸化水素で処理し、陰イオン交換樹脂カラムに通し Pu (IV) を吸着した。8.4N 硝酸及び10N 塩酸で樹脂を洗浄後、よう化アンモニウム－塩酸溶液で Pu (IV) を Pu (III) に還元し溶離した。分離精製した試料はステンレススチール板上に電着して計測試料とした。

(2) 海底土

化学処理に先立ち、乾燥、粉碎し、目開き 2 mm のふるいを通過した部分を分析試料とした。Pu-239,240の分析には乾土50gを、Cs-137には100gを、Sr-90及びCo-60には300gを用いた。

分析操作は1.2（「日本近海における海水及び海底土の放射能調査」の放射能測定）と同じである。

3.2.2 測 定

Y-90のベータ線計測には4 π 低バックグランドガスフローカウンタ（アロカ製 LBC-3型）、Cs-137及びCo-60のベータ線計測には低バックグランドベータ線スペクトロメータ（富士電機製ピコベータ）を用いた。

Puのアルファ線スペクトル計測には、PIPS型検出器（CANBERRA 社製 SPD-450-17-100 AM型）を装備したアルファ線スペクトロメータ（CANBERRA 社製7404型4連）及び、マルチチャネルアナライザ（CANBERRA 社製3502T型）を用いた。

3.3 結 果

平成4年（1992年）に採取した試料の測定結果を、海水及び海底土についてそれぞれ表3-1及び3-2に示す。測定値には計数誤差を付記した。なお、放射能濃度には短半減期の同位体を含むことがある。

3.3.1 海 水

測点1における、Pu-239,240、Cs-137及びSr-90の鉛直分布を図3-2に、また水温、塩分、溶存酸素、pH、りん酸塩及びけい酸塩の鉛直分布を図3-3に示した。B海域（測点1）におけるCs-137及びSr-90は、500m層付近にそれぞれ、3,700及び1,900 $\mu\text{Bq}/\ell$ の極大値をもち、中層（500m～1,250m）で急速に減少し、底層（1,500m～海底）では表層に比べCs-137では10分の1から80分の1、Sr-90では15分の1から50分の1の一定レベルであるという鉛直分布が得られ、従来の調査とほぼ同様な傾向を示している。

なお、今回4,000mの試料で底層水としては他と比べやや高い濃度（1400 $\mu\text{Bq}/\ell$ ）のCs-137が観測された。同様なことが1982年・底層10m（720 $\mu\text{Bq}/\ell$ ）、1986年・底層10m（520 $\mu\text{Bq}/\ell$ ）、1991年底層10m（1,700 $\mu\text{Bq}/\ell$ ）という値が観測され報告している。

また、B海域（測点1）におけるPu-239,240は、0 m～2,000mの間では750m付近に顕著な

極大をもち ($43\mu\text{Bq}/\ell$)、2,000m～海底では $10\sim20\mu\text{Bq}/\ell$ 程度のほぼ一定の値となっている。

3.3.2 海底土

B 海域（測点1）においては、海底土の表面（0～2 cm）における Pu-239,240、Cs-137、Sr-90及びCo-60はそれぞれ例年どおりの濃度範囲にあり、Cs-137は他と比較して一桁ほど高くなっている。従来の調査と同様の傾向を示している。

また、B 点における海底土の表層中の各核種の放射能濃度平均の経年変化を、測定された濃度範囲とともに図3-4に示した。Pu-239,240、Sr-90、Co-60は1988年からやや減少傾向にあり、Cs-137は長期的にみてほぼ横ばいからやや減少傾向が見られた。東西方向の放射能濃度についてみると、いずれの核種も水深が浅い測点はやや高くなる傾向がみられた。

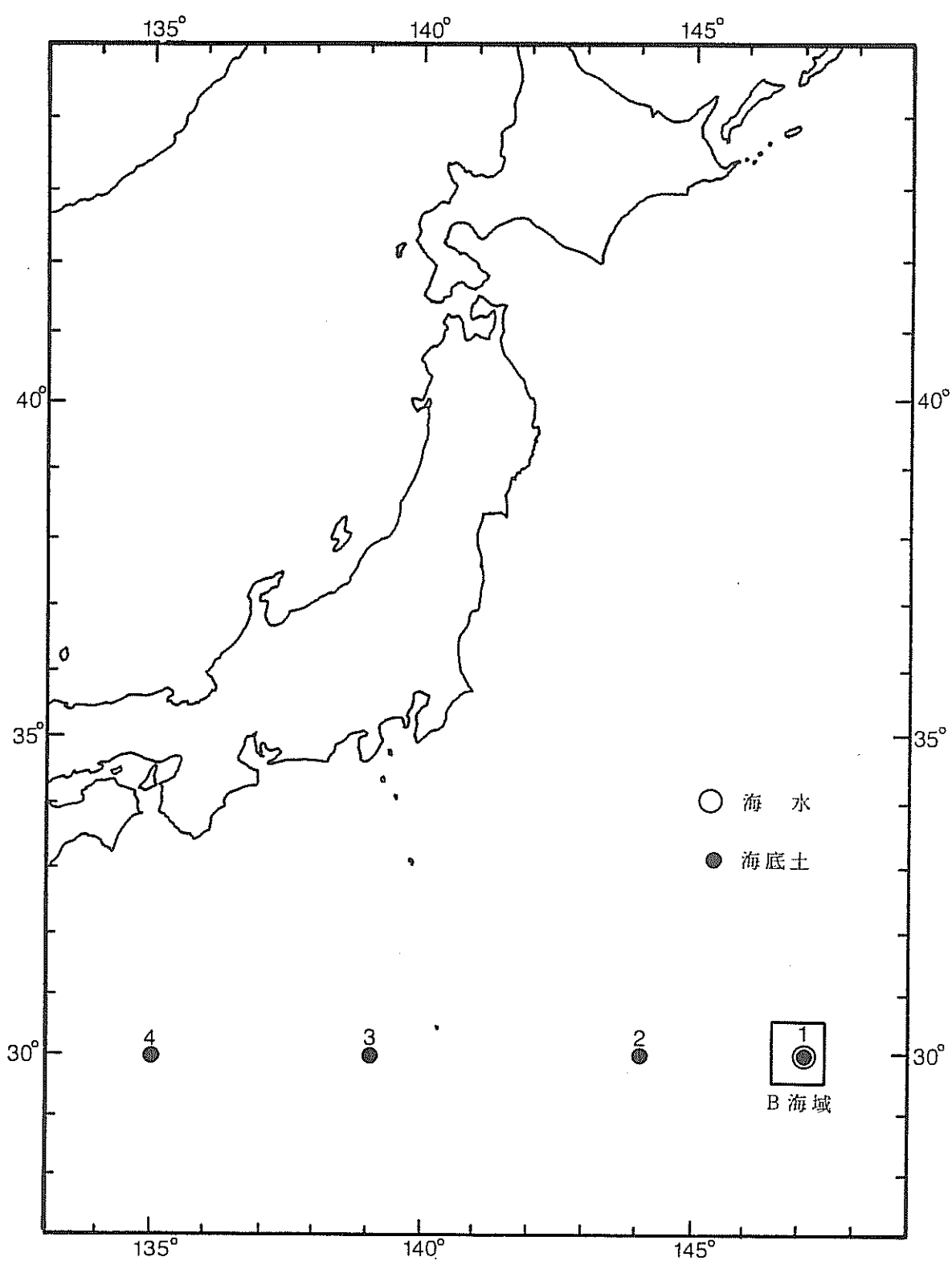


図 3—1 北太平洋西部海域放射能調査の試料採取点及び測点番号

表3-1 北太平洋西部海域の放射能調査結果—海水（平成4年）

測点番号	採取位置		採取年月日	水深(m)	採取深度(m)	実用塩分	溶存酸素(mℓ/ℓ)	pH	PO ₄ -P μg-atm/l	SiO ₂ -Si μg-atm/l	放射能濃度(μBq/l)			
	緯度(N)	経度(E)									^{239,240} Pu	¹³⁷ Cs	⁹⁰ Sr	
1	30-00.0	147-00.0	1992.6.9	6,210	0	23.1	34.721	5.06	8.20	0.00	0	6.4±0.9	3200±70	1900±30
				10	22.63	34.797	5.05	8.23	0.00	0	4.9±0.9	3300±60	1900±30	
	100	18.75	34.834	4.94		8.24	0.14		1	8.0±0.9	3600±70	1500±30		
	200	17.32	34.798	5.31		8.25	0.22	2	7.7±0.9	3500±70	1200±20			
	491	12.69	34.455	4.21		8.10	1.02	18	29	±2	3700±70	1900±40		
	738	5.89	34.043	3.13		7.87	2.26	63	43	±3	3300±60	980±21		
	985	4.11	34.249	1.65		7.72	2.88	106	30	±2	2600±60	400±10		
	1,249	3.16	34.393	1.26		7.66	3.08	134	17	±2	330±30	62±15		
	1,447	2.62	34.471	1.31		7.69	3.06	146	23	±2	350±30	77±15		
	2,002	2.00	34.591	2.21		7.74	2.90	154	14	±2	340±30	64±13		
	4,087	1.52	34.675	3.58		7.88	2.56	146	13	±1	1400±40	50±14		
	6,050	1.65	34.686	3.99		7.76	2.29	135	20	±3	58±27	47±16		
	6,140	1.63	34.691	3.98		7.64	2.28	136	16	±2	43±27	36±12		

表3-2 北太平洋西部海域の放射能調査結果—海底土（平成4年）

測点番号	採取位置		採取年月日	水深(m)	試料厚(cm)	放射能濃度(Bq/kg-乾土)		
	緯度(N)	経度(E)				^{239,240} Pu	¹³⁷ Cs	⁹⁰ Sr
1	29-59.8	147-00.5	1992. 6.10	6,150	0~2	0.056±0.006	0.28±0.03	0.035±0.004
2	30-00.1	144-00.3	1992. 6.11	5,600	0~2	0.037±0.004	0.43±0.04	0.063±0.004
3	30-00.0	139-01.2	1992. 6.12	2,040	0~2	0.25 ±0.01	2.2 ±0.1	0.20 ±0.01
4	30-00.2	135-00.2	1992. 6.13	4,650	0~2	0.094±0.007	0.66±0.04	0.092±0.005

全測点の表面[0~2 cm]の平均値

0.11 0.89 0.098

0.019

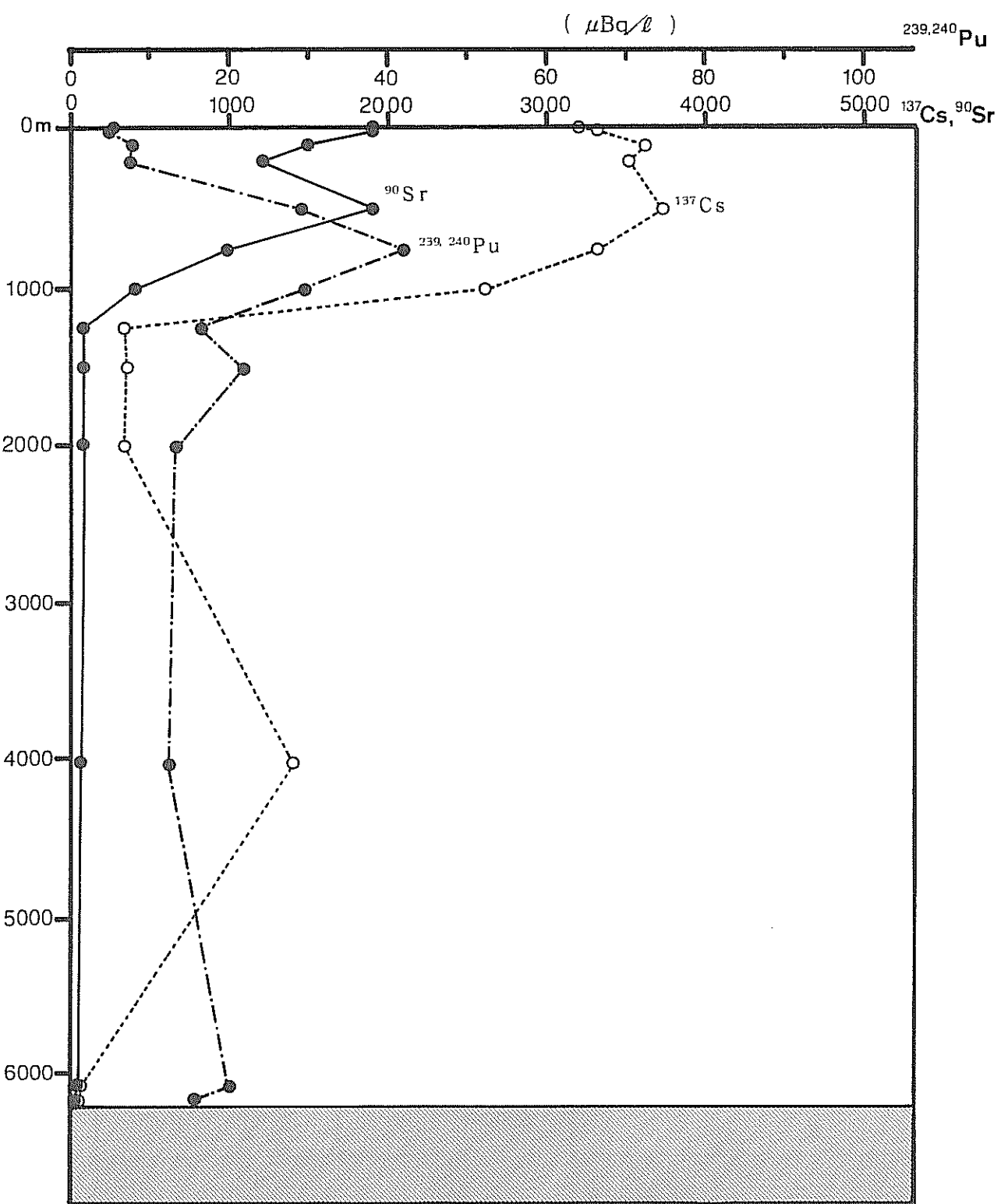


図3—2 測点1 (30°00'N, 147°00'E) における海水中の Pu-239,240 、 Cs-137 及び Sr-90 の鉛直分布

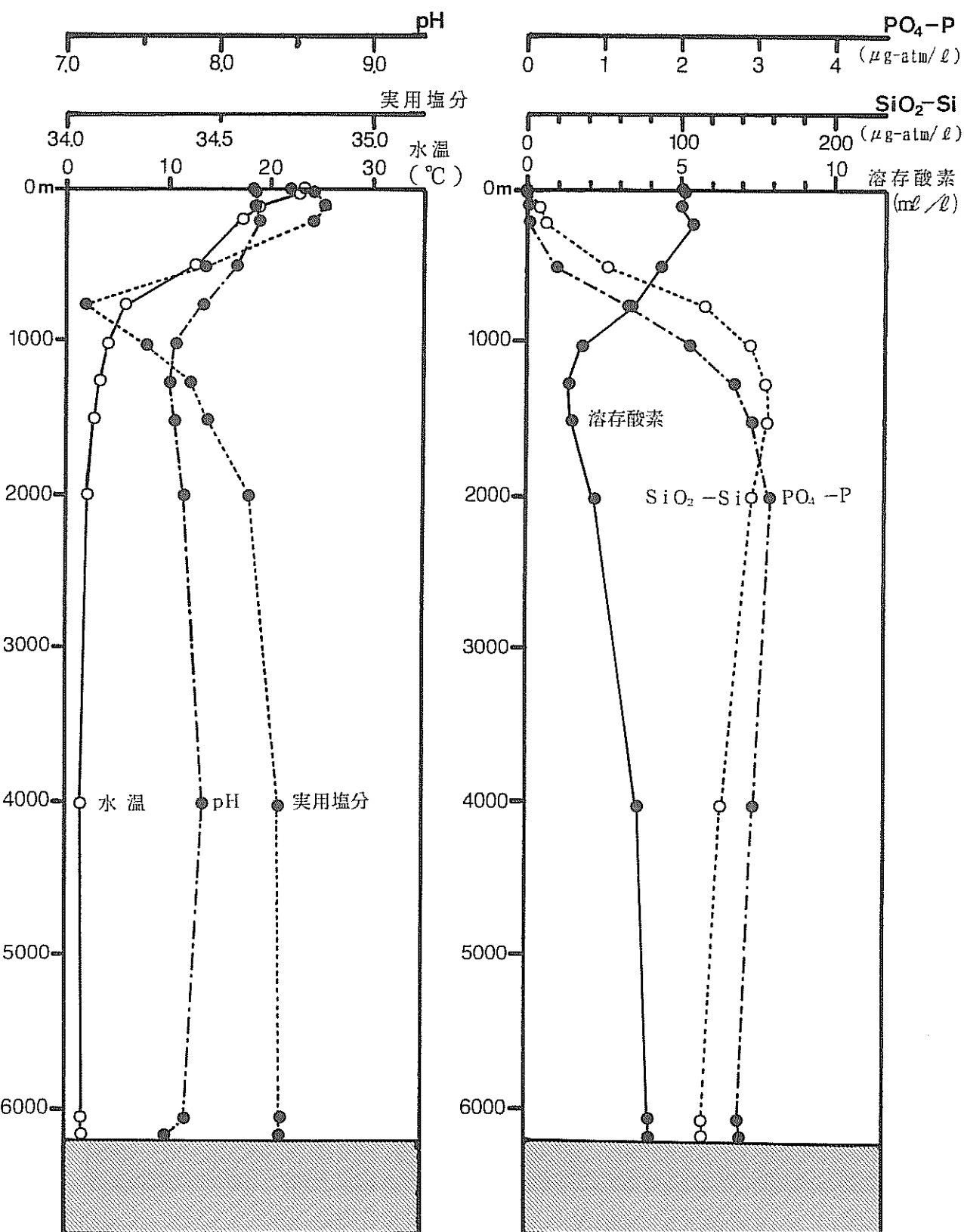


図3—3 測点1 (30°00'N, 147°00'E) における海水中の水温、実用塩分、
溶存酸素、pH、りん酸塩($\text{PO}_4\text{-P}$)及びけい酸塩($\text{SiO}_2\text{-Si}$)の鉛直分布

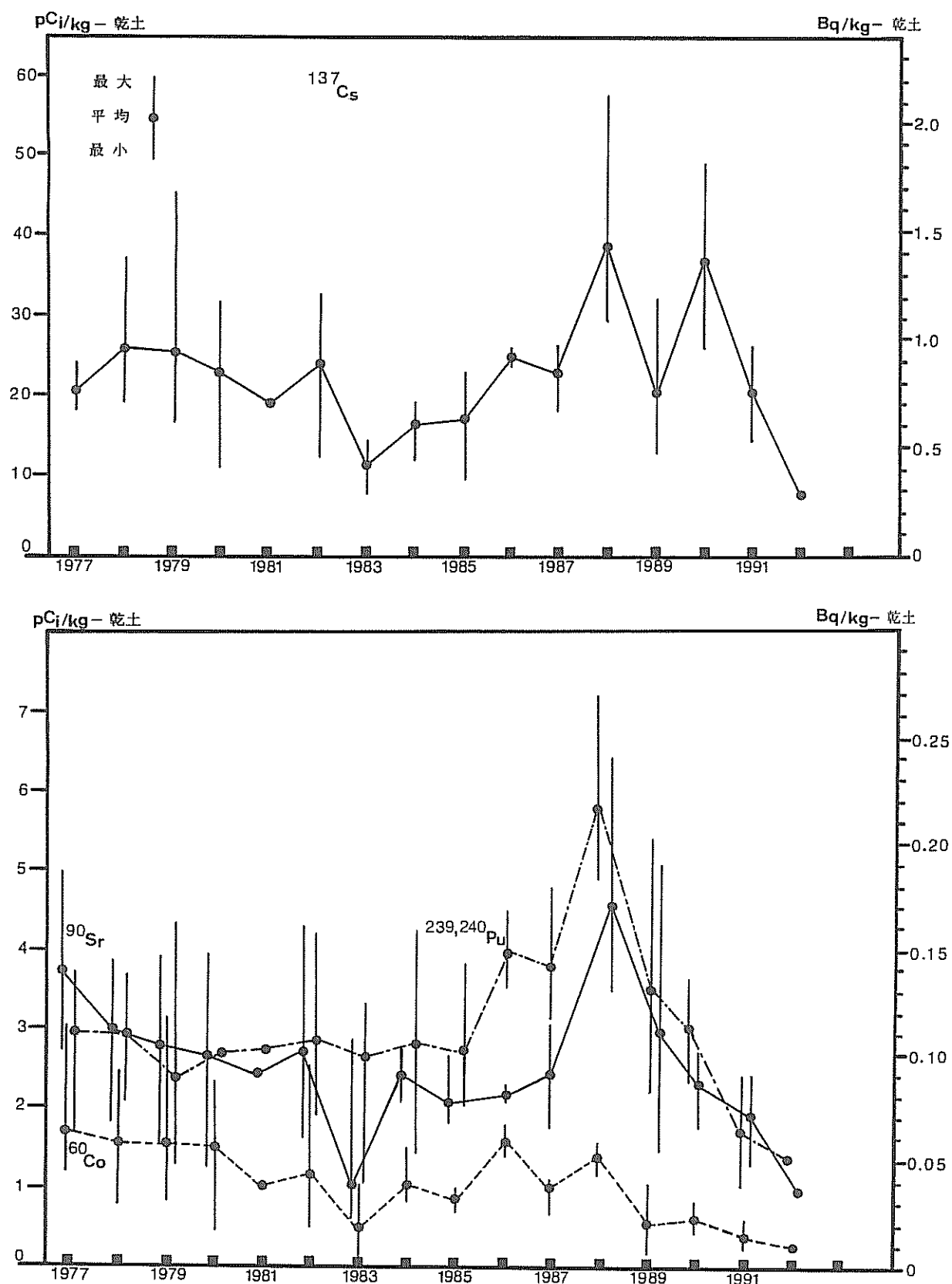


図3—4 測点1 (30°00'N, 147°00'E) (B 海域) における
海底土中の Pu-239,240 、 Cs-137 、 Sr-90 及び Co-60 の経年変化